

## ESPECIE NUEVA DE ÁCARO PLUMÍCOLA DEL GÉNERO *CHIASMALGES* (ACARI: PSOROPTOIDIDAE), CON LA DESCRIPCIÓN DE SU SERIE DE DESARROLLO ONTOGENÉTICO

TILA M. PÉREZ\*  
JOSÉ JUAN RAMÍREZ\*

### RESUMEN

Se describe una especie nueva de ácaro plumícola del género *Chiasmalges* Gaud & Atyeo, asociada con el perico *Aratinga holochlora* (Sclater), recolectada en la Isla Socorro del Archipiélago Revillagigedo y en los estados mexicanos de Tamaulipas, Veracruz y Chiapas, así como en diversas localidades de Guatemala, Nicaragua y Honduras. El estudio taxonómico, basado en 279 ejemplares, incluye la descripción de la serie completa de desarrollo ontogenético. *Chiasmalges anahoffmannae* sp. nov. y *Chiasmalges polyplectrus* Gaud & Atyeo representan las únicas especies nominadas de este género y ambas coexisten en el huésped, *Aratinga holochlora*, a través de toda su área de distribución.

Palabras clave: Astigmata, ácaros plumícolas, Isla Socorro, Archipiélago Revillagigedo, Psittacidae, nueva especie, serie ontogenética.

### ABSTRACT

A new feather mite species of the genus *Chiasmalges* Gaud & Atyeo, associated with the green conure *Aratinga holochlora* (Sclater), is described from material collected on the Socorro Island, in the Revillagigedo Archipelago; in the Mexican States of Tamaulipas, Veracruz and Chiapas; and in localities in Guatemala, Nicaragua and Honduras. The taxonomic study, based on 279 specimens, includes the description of the complete developmental series. *Chiasmalges anahoffmannae* sp. nov. and *Chiasmalges polyplectrus* Gaud & Atyeo are the only named species of this genus and both occur on the same host, *Aratinga holochlora*, throughout its distribution area.

\* Instituto de Biología, UNAM. Departamento de Zoología, Apartado postal 70-153, 04510 México, D. F.

Key words: Astigmata, feather mites, Socorro Island, Revillagigedo Archipelago, Psittacidae, new species, ontogenetic series.

## INTRODUCCIÓN

Los ácaros plumícolas Psoroptoididae Gaud fueron elevados a su actual estatus de familia y divididos en dos subfamilias por Gaud & Atyeo (1982). El género *Chiasmalgas* Gaud y Atyeo quedó incluido dentro de la subfamilia Pandalurinae Gaud y Atyeo, junto con los géneros *Dicamaralgas* Gaud y Atyeo, *Eurydiscalgas* Faccini, Gaud y Atyeo, *Mesalgoides* Gaud y Atyeo, *Pandalura* Hull y *Temnalges* Gaud y Atyeo.

Las especies de *Chiasmalgas* y *Eurydiscalgas* están asociadas con Psittacidae neotropicales y pueden coexistir sobre un mismo huésped (Pérez & Atyeo, 1984). De hecho, sobre *Aratinga holochlora* se pueden encontrar especies de ambos géneros, que son fácilmente diferenciables por la presencia de diminutas sedas verticales internas en *Chiasmalgas*, ausentes en *Eurydiscalgas*.

Se estima que existe una gran diversidad de especies de *Chiasmalgas* sobre los Psittacidae Neotropicales (Pérez, 1993). Sin embargo, la única especie nominada es *Chiasmalgas polyplectrus* Gaud y Atyeo, 1967; colectada sobre *A. holochlora* en Montemorelos, Nuevo León. Nuestras colecciones incluyen un gran número de especies nuevas aún sin describir, asociadas principalmente con los géneros *Ara Lacépède*, *Aratinga* Spix, y *Pyrrhura* Bonaparte.

El propósito de este artículo es describir una segunda especie de *Chiasmalgas* que coexiste con la especie ya descrita sobre *A. holochlora*. La descripción incluye la serie completa de su desarrollo ontogenético. Es la primera vez que se describe la larva, la protoninfa y la tritoninfa de un ácaro de la familia Psoroptoididae. La colección estudiada comprende 279 ejemplares colectados a través de todo el rango de distribución de su huésped, a partir de la revisión de pieles de museo y de pericos colectados en el campo.

En las descripciones, la nomenclatura de la quetotaxia del idiosoma sigue a Griffiths *et al.* (1990) y la de las patas a Grandjean (1939); el arreglo taxonómico del huésped sigue a Forshaw (1978). Todas las medidas están expresadas en micrómetros;  $\pm$  indica el error estándar, seguido, entre paréntesis, de los límites observados; N representa el número de observaciones. La longitud total fue tomada del ápice de los pedipalpos hasta la inserción de la seda *h3*; el ancho total como la distancia entre las sedas *cp*. Se midió la longitud del gnatosoma, del ápice de los pedipalpos a su base, y su anchura máxima. El ancho de los escleritos asociados a los epímeros I fue medido a la altura de las sedas *1a*; el epianandro y el epiginio fueron medidos en su longitud máxima, y su ancho se tomó a nivel del segundo par de acetábulos genitales; la distancia entre pares de sedas, de centro a centro; la longitud de los artejos de las patas, a lo largo de la superficie dorsal entre los puntos de articulación, y para el tarso, hasta la seda dorsal más distal *d o f*.

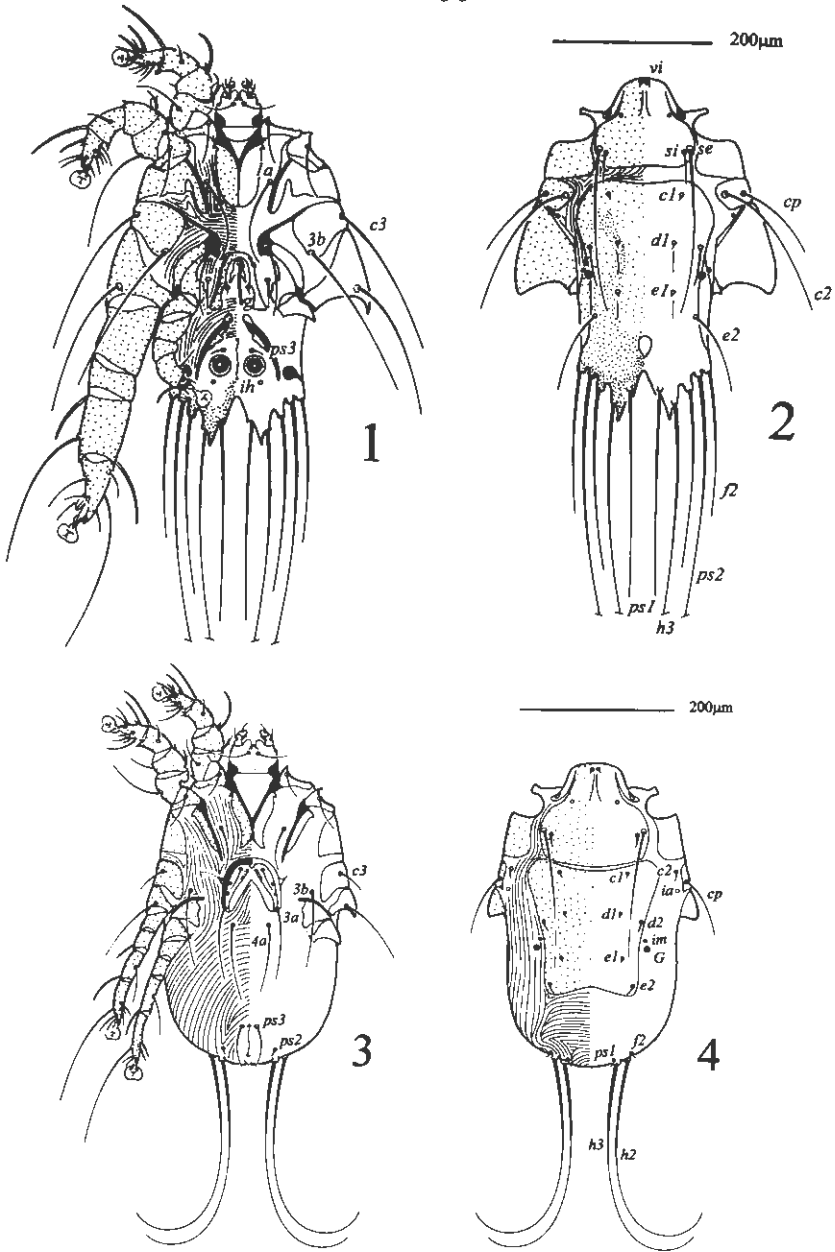
Las abreviaturas utilizadas en el texto son: AMNH (American Museum of Natural History, New York); BMNH (British Museum Natural History, London); CNAC (Colección Nacional de Ácaros, IBUNAM); FMNH (Field Museum of Natural History, Chicago); IBUNAM (Instituto de Biología, Universidad Nacional Autónoma de México); TMP (Tila M. Pérez), UGA (University of Georgia, Athens), UMMZ (University of Michigan Museum of Zoology, Ann Arbor); UNAM (Universidad Nacional Autónoma de México).

*Chiasmalgés anahoffmannae* sp. nov.

(Figs. 1-10)

**Macho** (Figs. 1-2, N = 25). Longitud total  $437.9 \pm 2.4$  (414.4-454.3), anchura total  $255.2 \pm 2.3$  (239.1-278.9). *Gnatosoma*: Largo  $58.5 \pm 0.4$  (53.2-63.0), ancho  $55.5 \pm 0.5$  (51.2-59.1). *Idiosoma dorsal*: Largo placa propodosomal  $115.2 \pm 0.6$  (106.4-120.2), ancho placa propodosomal  $121.3 \pm 0.8$  (114.3-128.0), esta placa contiene a las sedas *vi*, *si*, *se*, con estrías en forma de V invertida entre la placa propodosomal y la histerosomal; distancia *c1:d1*  $59.0 \pm 0.5$  (53.2-65.0), *d1:e1*  $57.5 \pm 0.6$  (52.2-66.9), *c2:d2*  $82.4 \pm 1.1$  (70.9-90.6), *d2:e2*  $87.9 \pm 0.8$  (78.8-94.6), *e2:f2*  $61.6 \pm 0.6$  (55.2-74.9), *e2:e2*  $129.7 \pm 1.3$  (118.2-145.8). *Idiosoma ventral*: Anchura escleritos asociados a los epímeros I  $48.3 \pm 0.5$  (43.3-54.2), longitud epiandro  $70.4 \pm 0.6$  (65.0-78.8), anchura epiandro  $29.6 \pm 0.7$  (25.6-37.4), el pene proyectado no sobrepasa la base del epiandro. *Patas*: Con apófisis tarsales apicales desarrolladas en forma de uña, tibias I y II con apófisis apicoventrales muy desarrolladas, tarso III con proyección en forma de hoja entre las sedas *d* y *e*, tarso IV reducido, con sedas *d* y *e* en forma de ventosa. *Medidas fémur, gēnua, tibia, tarso*: I:  $27.3 \pm 0.2$  (25.6-29.5),  $43.4 \pm 0.5$  (39.4-47.3),  $46.9 \pm 0.5$  (43.3-51.2),  $33.2 \pm 0.4$  (31.5-37.4); II:  $29.4 \pm 0.3$  (27.6-31.5),  $42.4 \pm 0.4$  (39.4-47.3),  $48.3 \pm 0.5$  (45.3-53.2),  $35.9 \pm 0.4$  (31.5-39.4); III:  $89.5 \pm 0.8$  (83.7-98.5),  $35.7 \pm 0.5$  (31.5-41.4),  $83.2 \pm 0.8$  (76.8-90.6),  $62.6 \pm 0.7$  (59.1-71.9); IV:  $37.3 \pm 0.5$  (33.5-43.3),  $17.6 \pm 0.3$  (13.8-19.7),  $22.0 \pm 0.3$  (19.7-25.6),  $8.5 \pm 0.2$  (6.9-9.8).

**Hembra** (Figs. 3-4, N = 25). Longitud total  $403.6 \pm 3.1$  (378.6-438.3); anchura total  $221.9 \pm 2.6$  (203.2-247.1). *Gnatosoma*: Largo  $58.1 \pm 0.5$  (51.2-65.0), ancho  $56.9 \pm 0.6$  (51.2-63.0). *Idiosoma dorsal*: Largo placa propodosomal  $136.1 \pm 0.6$  (130.0-139.9), ancho placa propodosomal  $125.0 \pm 0.9$  (118.2-135.9), forma como en el macho; distancia *c1:d1*  $50.5 \pm 0.5$  (46.3-55.2), *d1:e1*  $66.3 \pm 0.8$  (59.1-76.8), *c2:d2*  $79.4 \pm 0.6$  (72.9-84.7), *d2:e2*  $87.4 \pm 0.7$  (78.8-96.5), *e2:f2*  $68.0 \pm 1.2$  (61.1-80.8), *e2:e2*  $106.8 \pm 0.9$  (98.5-114.3). *Idiosoma ventral*: Anchura escleritos asociados a los epímeros I  $32.1 \pm 0.6$  (27.6-41.4), escleritos asociados a los epímeros II sin cubrir el ápice del epímero, longitud epiginio  $74.6 \pm 0.6$  (69.0-81.0), anchura epiginio  $66.1 \pm 1.0$  (61.1-77.0), largas sedas  $4a \approx 3a \approx 3b$ . *Patas*: Con apófisis tarsales apicales desarrolladas en forma de uña, tibias I y II con apófisis apicoventrales muy desarrolladas. *Medidas fémur, gēnua, tibia, tarso*: I:  $23.5 \pm 0.3$  (21.7-25.6),  $35.0 \pm 0.2$  (33.5-



Figs. 1-4. 1 y 2: *Chiasmalgas anahoffmannae* sp. nov. Macho. 1, idiosoma dorsal; 2, aspecto ventral. Abreviaturas: indican sedas excepto *ih* = lirifisura ventral. 3 y 4: *Chiasmalgas anahoffmannae* sp. nov. Hembra; 3, aspecto ventral; 4, idiosoma dorsal. Abreviaturas: indican sedas excepto *ia*, *im* = lirifisuras dorsales; G = abertura glándula opistonotal.

37.4),  $37.4 \pm 0.3$  (35.5-39.4),  $25.5 \pm 0.2$  (23.6-27.6); II:  $22.7 \pm 0.2$  (21.7-25.6),  $33.6 \pm 0.2$  (31.5-35.5),  $37.8 \pm 0.3$  (35.5-41.4),  $27.9 \pm 0.2$  (25.6-29.5); III:  $25.8 \pm 0.3$  (22.6-28.6),  $21.6 \pm 0.3$  (19.7-23.6),  $37.5 \pm 0.4$  (35.5-41.4),  $45.7 \pm 0.3$  (43.3-49.2); IV:  $26.4 \pm 0.2$  (24.0-29.5),  $20.6 \pm 0.2$  (19.7-21.7),  $42.0 \pm 0.3$  (39.4-43.3),  $52.0 \pm 0.2$  (49.2-54.2).

**Tritoninfa** (Figs. 5-6, N = 15). Longitud total  $362.4 \pm 7.7$  (310.8-414.4), anchura total  $206.1 \pm 2.8$  (191.3-231.1). *Gnatosoma*: Largo  $46.4 \pm 1.0$  (41.4-51.2), ancho  $46.1 \pm 0.6$  (41.4-49.2). *Idiosoma dorsal*: Largo placa propodosomal  $128.6 \pm 0.9$  (120.2-134.0), ancho placa propodosomal  $103.0 \pm 1.0$  (92.6-107.4), sedas escapulares por fuera de la placa propodosomal. *Idiosoma ventral*: Anchura escleritos asociados a los epímeros I  $16.4 \pm 0.2$  (15.8-17.7), seda *3b* rebasa femur IV, longitud sedas *4a*  $\approx$  *3b*  $\approx$  *g*. *Patatas*: Como en la hembra. *Medidas fémur, gñenua, tibia, tarso*: I:  $18.8 \pm 0.3$  (17.7-19.7),  $28.9 \pm 0.2$  (27.6-29.5),  $31.7 \pm 0.4$  (27.6-33.5),  $22.7 \pm 0.3$  (19.7-23.6); II:  $20.5 \pm 0.3$  (17.7-22.6),  $28.0 \pm 0.4$  (25.6-29.5),  $31.2 \pm 0.4$  (27.6-33.5),  $24.4 \pm 0.3$  (21.7-25.6); III:  $23.2 \pm 0.3$  (21.7-25.6),  $17.7 \pm 0.3$  (15.8-19.7),  $30.8 \pm 0.5$  (27.6-33.5),  $39.4 \pm 0.5$  (35.5-42.4); IV:  $21.0 \pm 0.2$  (19.7-21.7),  $16.3 \pm 0.2$  (15.8-17.7),  $33.2 \pm 0.5$  (29.5-35.5),  $43.3 \pm 0.5$  (39.4-45.3).

**Protoninfa** (Figs. 7-8, N = 15). Longitud total  $286.9 \pm 3.5$  (263.0-302.9), anchura total  $158.3 \pm 4.3$  (135.5-183.3). *Gnatosoma*: Largo  $36.5 \pm 0.3$  (35.5-39.4), ancho  $36.8 \pm 0.4$  (35.5-39.4). *Idiosoma dorsal*: Largo placa propodosomal  $103.5 \pm 0.8$  (100.5-110.3), ancho placa propodosomal  $73.0 \pm 0.7$  (69.0-76.8), sedas escapulares como en la tritoninfa. *Idiosoma ventral*: Anchura escleritos asociados a los epímeros I  $12.5 \pm 0.3$  (10.8-13.8), seda *3b* rebasa femur IV, longitud sedas *g*  $\approx$  *3b*. *Patatas*: Como en la tritoninfa. *Medidas fémur, gñenua, tibia, tarso*: I:  $15.5 \pm 0.1$  (13.8-15.8),  $23.4 \pm 0.2$  (21.7-23.6),  $24.8 \pm 0.2$  (23.6-25.6),  $18.4 \pm 0.2$  (17.7-19.7); II:  $16.9 \pm 0.3$  (15.8-19.7),  $22.8 \pm 0.2$  (21.7-23.6),  $24.8 \pm 0.3$  (23.6-26.6),  $19.3 \pm 0.3$  (17.7-21.7); III:  $16.8 \pm 0.3$  (15.8-17.7),  $14.7 \pm 0.3$  (13.8-15.8),  $23.8 \pm 0.4$  (21.7-25.6),  $33.9 \pm 0.3$  (31.5-35.5); IV:  $14.6 \pm 0.2$  (13.8-15.8),  $13.6 \pm 0.1$  (11.8-13.8),  $24.9 \pm 0.3$  (23.6-27.6),  $40.2 \pm 0.3$  (37.4-41.4).

**Larva** (Figs. 9-10, N = 15). Longitud total  $236.4 \pm 2.8$  (215.2-255.0), anchura total  $116.4 \pm 3.9$  (95.6-135.5). *Gnatosoma*: Largo  $29.9 \pm 0.3$  (27.6-31.5), ancho  $30.1 \pm 0.3$  (27.6-31.5). *Idiosoma dorsal*: Largo placa propodosomal  $85.0 \pm 0.6$  (80.8-88.6), ancho placa propodosomal  $43.2 \pm 0.4$  (41.4-47.3), sedas escapulares como en la protoninfa. *Idiosoma ventral*: Anchura escleritos asociados a los epímeros I  $9.8 \pm 0.4$  (7.9-11.8). *Patatas*: Como en la protoninfa. *Medidas fémur, gñenua, tibia, tarso*: I:  $11.7 \pm 0.3$  (9.8-13.8),  $18.6 \pm 0.2$  (17.7-19.7),  $19.0 \pm 0.2$  (17.7-19.7),  $15.5 \pm 0.2$  (13.8-17.7); II:  $11.1 \pm 0.2$  (9.8-11.8),  $18.1 \pm 0.2$  (17.7-19.7),  $19.2 \pm 0.2$  (17.7-19.7),  $16.1 \pm 0.1$  (15.8-16.7); III:  $13.9 \pm 0.3$  (11.8-15.8),  $14.9 \pm 0.2$  (13.8-15.8),  $21.4 \pm 0.2$  (19.7-21.7),  $33.6 \pm 0.3$  (31.5-35.5).

**Holotipo** ♂. Sobre *Aratinga holochlora brevipes* (Lawrence) (Psittacidae). MÉXICO: COLIMA: Archipiélago Revillagigedo, Isla Socorro, 6.X.1988, L. Cervantes (TMP 81). Depositado en la CNAC (A. Hoffmann) del IBUNAM.

**Serie de paratipos.** Sobre *Aratinga holochlora brevipes*: MÉXICO: COLIMA: 36 ♂♂, 57 ♀♀, 13 TNN, 46 PNN, 12 LL, Archipiélago Revillagigedo, Isla Socorro, 6.X.1988, L. Cervantes (TMP81); 4 ♂♂, 2 ♀♀, 1 L, mismos datos excepto 5.V.1897, sin colector (AMNH 474431, UGA 10933); 2 ♂♂, 1 ♀, mismos datos excepto 10.XII.1901, R. H. Beck (AMNH 474429, UGA 10935); 1 ♂, 1 ♀, mismos datos excepto (AMNH 474428, UGA 10936); 2 ♂♂, 8 ♀♀, 7 TNN, 1 PN, mismos datos excepto 19.III.1938, W. H. Burt (UMMZ 95622, UNAM 206); 2 TNN, mismos datos excepto (UMMZ 95623, UNAM 207); 1 ♂, 4 ♀♀, 1 TN, 1 PN, mismos datos excepto (UMMZ 95624, UNAM 208); 1 ♂, 1 ♀, 2 TNN, (UMMZ 95620, UNAM 210). Depositados en CNAC, AMNH, FMNH, UGA y UMMZ.

**Otro material examinado.** Sobre *Aratinga h. holochlora* (Sclater): MÉXICO: TAMAULIPAS: 1 ♂, 3 ♀♀, El Limón, 17.VI.1985, T. M. Pérez & E. Mejía (TMP 55); 3 ♂♂, 4 ♀♀, 2 TNN, 4 PNN, Cd. Mante, 20.III.1986, T. M. Pérez (TMP 66); 3 ♂♂, 1 ♀, 1 TN, Cd. Mante, 8.IV.1986, L. Menchaca (TMP 67); 1 ♂, 1 ♀, cerca Gómez Farías, 5.IX.1950, E. P. Edwards (FMNH 208673, UGA 11610-11611); 2 ♀♀, Cerca Gómez Farías, 14.VIII.1941, E. L. Warner (FMNH 102802, UGA 11612). VERACRUZ: 1 PN, Jalapa Enriquez, 1881, C. F. Höge (BMNH 1889.1.3076, UGA 12033-12034). CHIAPAS: 4 ♂♂, 6 ♀♀, 40 millas NW Arriaga, 22.VII.1950, V. L. Lea (FMNH 208674, UGA 11606-11607); 1 ♂, 1 ♀, 40 millas NW Arriaga, 14.VII.1950, E. P. Edwards (FMNH 208671, UGA 11608-11609); 1 ♀, 3 TNN, 1 PN, Escuintla, 15.II.1941, sin colector (FMNH 189793, UGA 11613); 3 ♀♀, Rancho El Sumidero, 4 km NE Tuxtla Gutiérrez, 14.III.1980, C. Toscano (TMP 36); 1 ♂, 1 ♀, 1 PN, mismo datos excepto (TMP 38); 1 ♂, 1 ♀, Puerto Arista, 3.III.1980, C. Toscano (TMP 39). Sobre *Aratinga holochlora rubritorquis* (Sclater): GUATEMALA: 1 ♂, 2 ♀♀, 1 TN, 1 PN, Zacapa, 15.II.1906, N. Dearborn (FMNH 22417, UGA 11628-11629); 1 ♂, 2 ♀♀, 3 PNN, mismos datos excepto (FMNH 22418, UGA 11630-11631). NICARAGUA: 1 ♀, San Rafael, 16.V.1904, W. B. Richardson (AMNH 474425, UGA 10937); 1 ♀, San Rafael del Norte, 23.III.1917, Miller *et al.* (AMNH 143788, UGA 10938); 1 ♂, 1 ♀, San Rafael del Norte, Jinotega, 10.III.1905, W. B. Richardson (FMNH 21865, UGA 11632-11633). HONDURAS: 3 ♀♀, 16 km SE Santa Rita, Copán, 29.VI.1935, C. F. Underwood (AMNH 326002, UGA 10939); 1 ♀, mismos datos excepto 30.VI.1935 (AMNH 326003, UGA 10940).

**Discusión.** Los adultos de la especie descrita se diferencian de los de *C. polyplectrus* por ser de menor tamaño y por presentar las apófisis apicoventrales de la tibia I y II más desarrolladas. En los machos, las estrías entre la placa propodosomal y la histerosomal corren en forma de V invertida (Fig. 2) y el tarso III presenta una proyección en forma de hoja que está ausente en *C. polyplectrus*; en esta última especie la hendidura interlobular de la parte posterior del idiosoma es más profunda que en *C. anahoffmannae*. En las hembras, los escleritos asociados a los epímeros II no alcanzan el ápice del epímero, y las sedas 3b y 4a son de longitud semejante, en cambio en *C. polyplectrus* las sedas 3b < 4a.



Los estados inmaduros de *C. anahoffmannae* presentan las sedas escapulares por fuera de la placa propodosomal y el patrón de estrías del tegumento del idiosoma dorsal es característico (Figs. 6, 8 y 10).

Ciertas sedas del idiosoma de los adultos se obtienen durante la ontogenia, la protoninfa añade las sedas *f2*, *h3*, *ps1*, *ps2*, *ps3* y *g* (Figs. 7-8), y la tritoninfa añade las sedas *3a* y *4a* (Fig. 5), obteniéndose en este estadio la quetotaxia completa que presentarán los adultos.

Las sedas y solenidios de las patas también se añaden ontogenéticamente. El Cuadro 1 indica estas estructuras en la larva, y en los estadios posteriores solamente se indican las adiciones.

**Cuadro 1.** Adiciones ontogenéticas de la quetotaxia y solenidotaxia de las patas de *Chiasmalgas anahoffmannae* sp. nov.

	Tr	Fémur	Génua	Tibia	Tarso
Larva					
I	-	vF	cG, mG, $\sigma 1$ , $\sigma 2$	<i>gT</i> , $\phi$	<i>ba</i> , <i>la</i> , <i>ra</i> , <i>wa</i> , <i>d</i> , <i>e</i> , <i>f</i> , <i>s</i> , $\omega 1$
II	-	vF	cG, mG, $\sigma 1$	<i>gT</i> , $\phi$	<i>ba</i> , <i>la</i> , <i>ra</i> , <i>wa</i> , <i>d</i> , <i>e</i> , <i>f</i> , <i>s</i> , $\omega 1$
III	-	-	$\sigma 1$	<i>gT</i> , $\phi$	<i>d</i> , <i>e</i> , <i>f</i> , <i>r</i> , <i>s</i> , <i>w</i>
Protoninfa					
III	-	-	-	-	-
IV	-	-	-	-	<i>d</i> , <i>r</i> , <i>s</i>
Tritoninfa					
I	pR	-	-	-	$\omega 3$
II	pR	-	-	-	-
III	sR	-	-	-	-
IV	-	-	-	<i>kT</i> , $\phi$	<i>f</i> , <i>e</i>

Tr = Trocánter

Algunas medidas están sujetas a distorsión debido a la preparación del ejemplar como se discutió anteriormente (Pérez & Atyeo, 1989). El rango de variación encontrado en *C. anahoffmannae* a través de su área de distribución se encontró también en los ejemplares provenientes de una sola localidad e incluso de un solo huésped individual (*i.e.*, de los ejemplares provenientes de Isla Socorro). Finalmente, en todos los ejemplares de *A. holochlora* en los que se obtuvo *C. anahoffma-*

*nae*, también se encontró a *C. polyplectrus*, es decir, que ambas especies coexisten sobre un mismo huésped individual.

**Etimología.** Nos complace dedicar esta especie a nuestra querida maestra y amiga Dra. Anita Hoffmann, pionera mexicana en el estudio del fascinante mundo de los ácaros.

### AGRADECIMIENTOS

Esta investigación fue financiada en parte por el Consejo Nacional de Ciencia y Tecnología (Proyecto 3102-N9306).

### LITERATURA CITADA

- FORSHAW, J. M. 1978. *Parrots of the world* (2nd ed.). Lansdowne Editions, Melbourne. 616 p.
- GAUD, J. & W. T. ATYEO. 1967. Genres nouveaux de la famille des Analgidae, Trouessart et Mégnin. *Acarologia* 9: 447-464.
- GAUD, J. & W. T. ATYEO. 1982. The subfamilies of the Analgidae and Psoroptoididae (Acari: Analgoidea). *J. Med. Entomol.* 19: 299-305.
- GRANDJEAN, F. 1939. La chaetotaxie des pattes chez les Acaridae. *Bull. Soc. Zool. Fr.* 64: 50-60.
- GRIFFITHS, D. A., W. T. ATYEO, R. A. NORTON & C. A. LYNCH. 1990. The idiosomal chaetotaxy of astigmatid mites. *J. Zool., Lond.* 220: 1-32.
- PÉREZ, T. M. 1993. Diversidad de ácaros plumícolas de pericos mexicanos. In: R. Gío-Argáez & E. López-Ochoterena (eds.) *Diversidad biológica de México. Rev. Soc. Mex. hist. Nat.* (Vol. Esp.) 44: 235-249.
- PÉREZ, T. M. & W. T. ATYEO. 1984. Site selection in feather and quill mites of Mexican parrots. In: D. A. Griffiths & C. E. Bowman (eds.) *Acarology VI*. Ellis Horwood Ltd., Chichester, 1, pp. 563-570.
- PÉREZ, T. M. & W. T. ATYEO. 1989. New feather mite species of *Aralichus* (Acarina, Pterolichidae) from the White-Capped parrot, *Pionus senilis* (Spix). *J. Parasitol.* 75: 11-20.